

東京大學生産技術研究所
東京大學生産技術研究所正員
正員奈藤 考夫
三木五三郎

1. はじめに

アッターベルク限界をもとにして、粘性土のセシ断強さや圧縮性などの力学的特性を簡便に推定しようとした試みは数多い。しかし、これらの研究成果を各々の事例に精度よく適用できるほど、各種の提案式が、一般性に富んでいるわけではない。著者らは、塑性比⁽¹⁾という新しい分類指標を見い出し、これが細粒土の力学的特性と関係しているのではないかと思っている。塑性比(plastic ratio)とは、塑性指数(PI)を塑性限界(LL)で除した値を小数表示したもので、記号では Pr と表記する。また、図1に示すように、塑性比を縦軸に、液性限界を横軸にした直交グラフを塑性比図(plastic ratio chart)と呼んでいる。細粒土の分類という観点からすれば、塑性比図は、Casagrande の塑性図(plasticity chart)に対応するものである。ここでは、塑性比図を参考にして、練り返した粘性土の有効応力表示によるセシ断抵抗角、乱さない土の残留強度表示によるセシ断抵抗角、および、圧縮性などについて述べることにする。

2. 塑性比と粘性土のセシ断抵抗角

図2は、有効応力表示による練り返した粘性土のセシ断抵抗角をまとめたものである。三軸圧縮試験、スライスセシ断試験、等方および異方圧密による結果を区別なくプロットしている。セシ断抵抗角 ϕ' は、塑性比の増加とともに減少し、液性限界の大きさには、あまり関係していない。図によれば、0.6以下の Pr で ϕ' が 35° 以上、 Pr が 0.6~1.5 で ϕ' が $35^\circ \sim 30^\circ$ 、1.5以上の Pr で ϕ' が 30° 以下と区分される。

図3⁽¹⁾は、残留強度表示によるセシ断抵抗角 ϕ_r をまとめたものである。図2の場合と同様に、液性限界の大きさにはそれほど関係なく、塑性比の増加とともに ϕ_r が減少している。図によれば、1.0以下の Pr で ϕ_r が 20° 以上、1.0~2.0の Pr で ϕ_r が $20^\circ \sim 10^\circ$ 、2.0以上の Pr で ϕ_r が 10° 以下と区分される。

セシ断抵抗角 ϕ' 、 ϕ_r が粒子間のすべり抵抗を示す1つの指標であるとすれば、図2、図3から得られた結果は、塑性比が細粒土のコンシステンシーを支配する基本的な物性を、液性限界は粘土分の含有量を示す指標とみなすことができる。

3. 塑性比と圧縮指数

圧縮指数 C_c を簡便に推定する方法として、しばしば用いられる分類指標は、液性限界である。ここでは、圧縮指数と塑性比と液性限界の小数表示の積($Pr \cdot \frac{LL}{100}$)の関係を図4のように整理してみた。図中の黒丸が、ばらついてプロットされているが、これについては、引用例ごとに異なる試料の作製方法がかなり影響しているようである。特定の($Pr \cdot \frac{LL}{100}$)に対応する圧縮指数 C_c の最小値が、図中の破線のような関係で存在するのではないかと予測されること、引用例(13)にみるように、自然タイ積粘土の C_c が図中の破線よりも、かなり上方にプロットされることなどがわかる。

(1) T.Saito, G.Miki (1975); Swelling and residual strength characteristics of soils based on a newly proposed "Plastic Ratio Chart", Soils and Foundations, Vol.15, No.1, pp.61~68

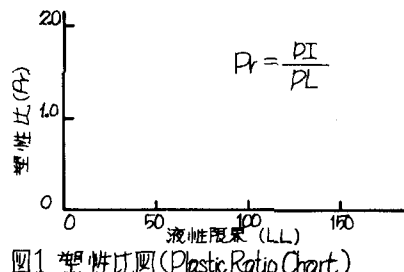


図1 塑性比図(Plastic Ratio Chart)

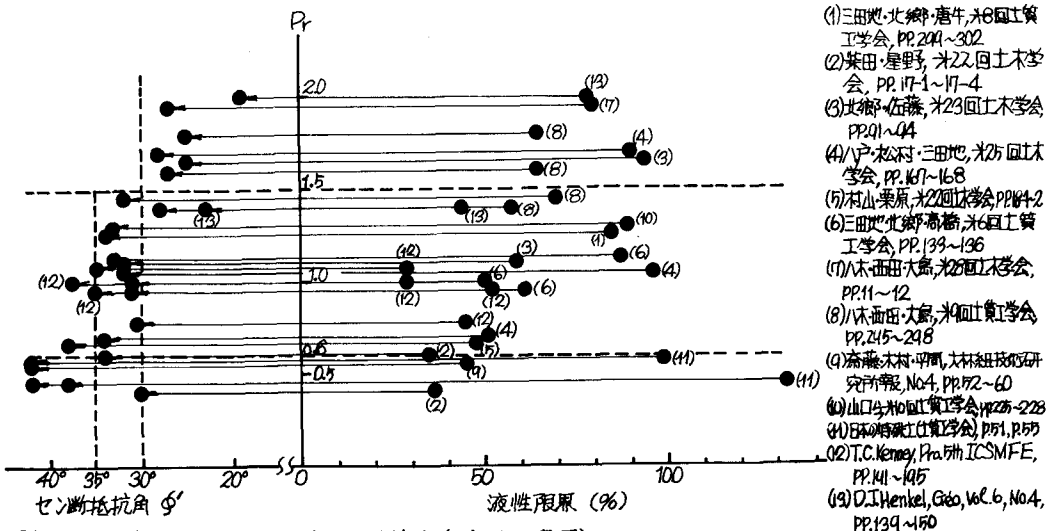


図2 塑性比圖上における粘性土のせん断抵抗角(有効応力表示)

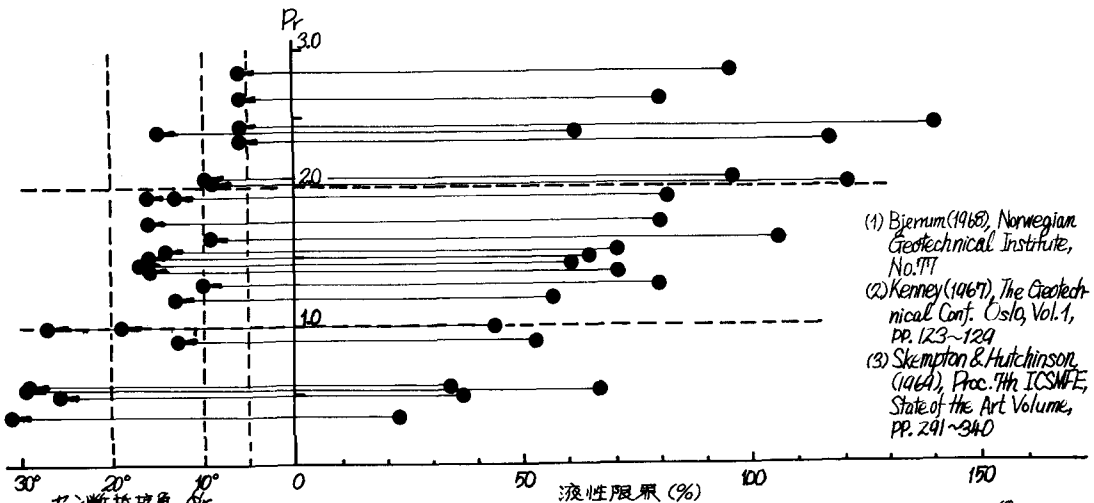


図3 塑性比圖上における粘性土のせん断抵抗角(残留強さ表示)(Bjerrum⁽¹⁾, Kenney⁽²⁾, Skempton & Hutchinson⁽³⁾資料による)

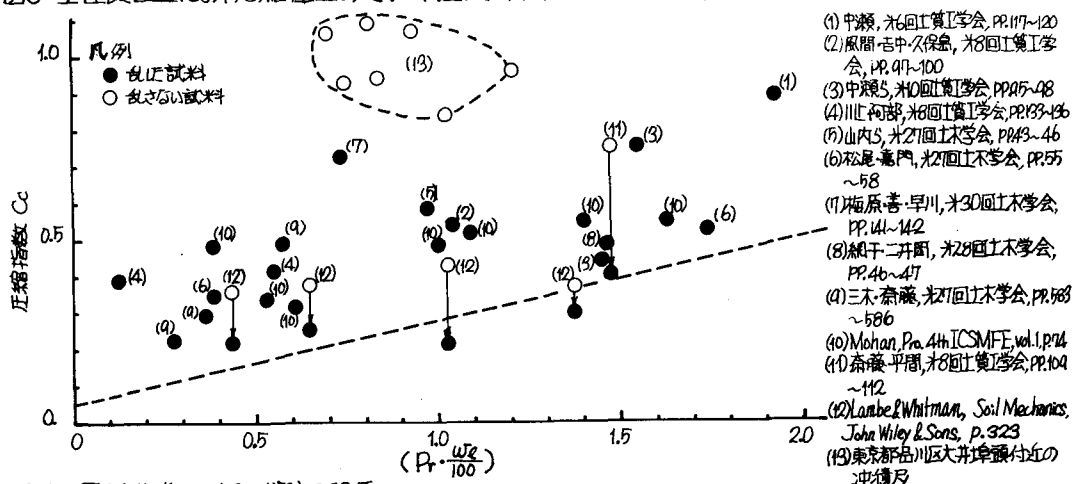


図4 圧縮指數と($Pr \cdot w_r / 100$)の関係